

(19) 日本国特許庁(JP)

(12) 公開特許公報(A)

(11) 特許出願公開番号

特開2019-215794  
(P2019-215794A)

(43) 公開日 令和1年12月19日(2019.12.19)

(51) Int.Cl.	F I	テーマコード (参考)
<b>G06F 21/56 (2013.01)</b>	G06F 21/56 370	5J104
<b>H04L 9/10 (2006.01)</b>	H04L 9/00 621A	

審査請求 未請求 請求項の数 12 O L (全 14 頁)

(21) 出願番号 特願2018-113649 (P2018-113649)  
(22) 出願日 平成30年6月14日 (2018.6.14)

(出願人による申告)平成29年度、総務省、戦略的情報通信研究開発推進事業 (SCOPE)、重点領域型研究開発、ICT重点研究開発分野推進型、「IoT部品・機器・ネットワークの階層横断セキュリティ技術の研究開発」委託研究、産業技術力強化法第19条の適用を受ける特許出願

(71) 出願人 899000068  
学校法人早稲田大学  
東京都新宿区戸塚町1丁目104番地  
110002675  
(74) 代理人 特許業務法人ドライト国際特許事務所  
(72) 発明者 戸川 望  
東京都新宿区戸塚町1丁目104番地 学校法人早稲田大学内  
(72) 発明者 長谷川 健人  
東京都新宿区戸塚町1丁目104番地 学校法人早稲田大学内  
Fターム(参考) 5J104 AA46

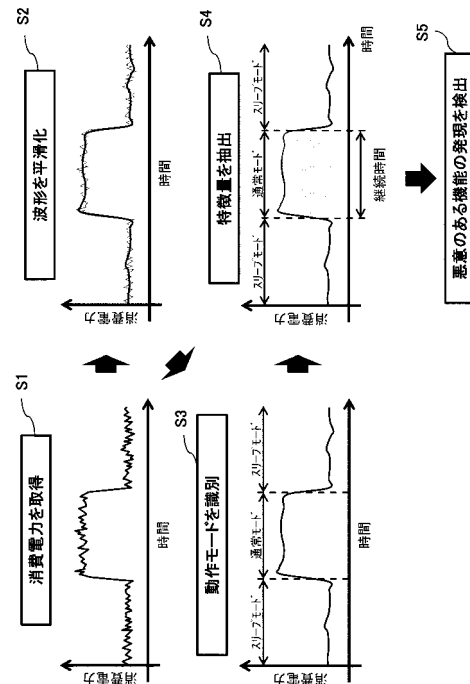
(54) 【発明の名称】 検出方法及び検出装置

(57) 【要約】

【課題】プログラムを書き換え可能な対象デバイスに挿入された悪意のある機能の発現を検出する方法及び装置を提供する。

【解決手段】検出装置の計測器は、対象デバイスの動作中に対象デバイスの消費電力の波形データを取得する (S1)。検出装置のプロセッサは、計測器より取得された消費電力のデータを平滑化し (S2)、平滑化後の消費電力のデータをクラスタリングにより分類することによって通常モードとスリープモードとを識別し (S3)、通常モードと識別された期間ごとに、当該通常モードの継続時間と、当該継続時間での消費エネルギーとを特徴量として抽出し (S4)、抽出された特徴量から外れ値を求めることで、対象デバイスに挿入された悪意のある機能の発現を検出する (S5)。

【選択図】 図4



**【特許請求の範囲】****【請求項 1】**

プログラムを書き換え可能で且つ複数の動作モードを有する対象デバイスに挿入された機能の発現を検出する方法であって、

前記対象デバイスの動作中に前記対象デバイスのサイドチャンネル情報を取得し、

前記サイドチャンネル情報から得られるデータをクラスタリングにより分類することによって前記複数の動作モードを識別し、

識別された前記複数の動作モードのうち少なくとも 1 つの動作モードで前記対象デバイスが動作している期間について、前記サイドチャンネル情報に基づく特徴量を抽出し、

前記特徴量から外れ値を求めることで、前記対象デバイスに挿入された機能の発現を検出する方法。

10

**【請求項 2】**

前記サイドチャンネル情報として、前記対象デバイスの消費電力を取得する、請求項 1 に記載の方法。

**【請求項 3】**

前記特徴量として、前記少なくとも 1 つの動作モードの継続時間と、当該継続時間における前記対象デバイスの消費エネルギーと、を抽出する、請求項 2 に記載の方法。

**【請求項 4】**

前記サイドチャンネル情報として、前記対象デバイスに流れる電流を取得する、請求項 1 に記載の方法。

20

**【請求項 5】**

前記特徴量として、前記少なくとも 1 つの動作モードの継続時間と、当該継続時間における前記対象デバイスの累積電流値と、を抽出する、請求項 4 に記載の方法。

**【請求項 6】**

前記サイドチャンネル情報として、前記対象デバイスの抵抗を取得する、請求項 1 に記載の方法。

**【請求項 7】**

前記特徴量として、前記少なくとも 1 つの動作モードの継続時間と、当該継続時間における前記対象デバイスの累積抵抗値と、を抽出する、請求項 6 に記載の方法。

**【請求項 8】**

前記クラスタリングのアルゴリズムとして K 平均法を用いる、請求項 1 ~ 7 の何れか 1 項に記載の方法。

30

**【請求項 9】**

前記クラスタリングのアルゴリズムとしてウォード法を用いる、請求項 1 ~ 7 の何れか 1 項に記載の方法。

**【請求項 10】**

局所外れ値因子法を用いて前記外れ値を求める、請求項 1 ~ 9 の何れか 1 項に記載の方法。

**【請求項 11】**

前記サイドチャンネル情報から得られるデータを平滑化し、

前記平滑化した後のデータから、前記複数の動作モードを識別する、請求項 1 ~ 10 の何れか 1 項に記載の方法。

40

**【請求項 12】**

プログラムを書き換え可能で且つ複数の動作モードを有する対象デバイスに挿入された機能の発現を検出する装置であって、

前記対象デバイスの動作中に前記対象デバイスのサイドチャンネル情報を取得する計測器と、

前記サイドチャンネル情報から得られるデータをクラスタリングにより分類することによって前記複数の動作モードを識別し、識別された前記複数の動作モードのうち少なくとも 1 つの動作モードで前記対象デバイスが動作している期間について、前記サイドチャネ

50

ル情報に基づく特徴量を抽出し、前記特徴量から外れ値を求めることで、前記対象デバイスに挿入された機能の発現を検出するプロセッサと、  
を備える検出装置。

【発明の詳細な説明】

【技術分野】

【0001】

本発明は、対象デバイスに挿入された機能の発現を検出する方法及び装置に関する。

【背景技術】

【0002】

近年、プログラムを書き換え可能なプラットフォームが、IoT (Internet of Thing) デバイス等の様々な電子機器に広く用いられている。IoT デバイスは、インターネットを介してファームウェアをダウンロードしてアップデートすることができる一方で、情報の漏洩やハードウェアの安全性に関して深刻な懸念が生じている。例えば、インターネットを介してIoT デバイスのファームウェアをアップデートする場合、攻撃者により悪意でファームウェアが改ざんされ、デバイスの機能が容易に変更されてしまうおそれがある。このような事態に対処するため、例えば、非特許文献1には、組み込みシステムにおいて異常なコード実行を検出する技術が開示されている。

10

【先行技術文献】

【非特許文献】

【0003】

【非特許文献1】Yannan Liu, Lingxiao Wei, Zhe Zhou, Kehuan Zhang, Wenyuan Xu, and Qiang Xu, "On Code Execution Tracking via Power Side-Channel," in Proc. ACM SIGSAC Conference on Computer and Communications Security, pp. 1019-1031, 2016.

20

【発明の概要】

【発明が解決しようとする課題】

【0004】

このように、プログラムを書き換え可能なプラットフォームを有するデバイスにおいて、攻撃者により悪意でデバイスに挿入された機能(悪意のある機能)の発現を検出する技術が望まれている。

【0005】

本発明は、プログラムを書き換え可能な対象デバイスに挿入された悪意のある機能の発現を検出する方法及び装置を提供することを目的とする。

30

【課題を解決するための手段】

【0006】

本発明に係る検出方法は、プログラムを書き換え可能で且つ複数の動作モードを有する対象デバイスに挿入された機能の発現を検出する方法であって、前記対象デバイスの動作中に前記対象デバイスのサイドチャンネル情報を取得し、前記サイドチャンネル情報から得られるデータをクラスタリングにより分類することによって前記複数の動作モードを識別し、識別された前記複数の動作モードのうち少なくとも1つの動作モードで前記対象デバイスが動作している期間について、前記サイドチャンネル情報に基づく特徴量を抽出し、前記特徴量から外れ値を求めることで、前記対象デバイスに挿入された機能の発現を検出する。

40

【0007】

本発明に係る検出装置は、プログラムを書き換え可能で且つ複数の動作モードを有する対象デバイスに挿入された機能の発現を検出する装置であって、前記対象デバイスの動作中に前記対象デバイスのサイドチャンネル情報を取得する計測器と、前記サイドチャンネル情報から得られるデータをクラスタリングにより分類することによって前記複数の動作モードを識別し、識別された前記複数の動作モードのうち少なくとも1つの動作モードで前記対象デバイスが動作している期間について、前記サイドチャンネル情報に基づく特徴量を抽出し、前記特徴量から外れ値を求めることで、前記対象デバイスに挿入された機能の発

50

現を検出するプロセッサと、を備える。

【発明の効果】

【0008】

本発明によれば、対象デバイスの動作中に取得されるサイドチャンネル情報に基づいて、当該対象デバイスに挿入された悪意のある機能の発現を検出することができる。

【図面の簡単な説明】

【0009】

【図1】本発明の実施形態に係る検出システムの構成を模式的に示すブロック図である。

【図2】対象デバイスの動作モードを説明する模式図である。

【図3】対象デバイスに悪意のある機能が挿入された場合の動作モードを説明する模式図である。

【図4】対象デバイスから悪意のある機能の発現を検出する方法の流れを示す模式図である。

【図5】対象デバイスから悪意のある機能の発現を検出する実験の条件を説明する模式図である。

【図6】対象デバイスの動作中の消費電力の波形を示すグラフである。

【図7】図6の消費電力のデータを平滑化することにより得られる波形を示すグラフである。

【図8】平滑化後の消費電力のデータから、K平均法によるクラスタリングを用いて通常モードとスリープモードとを識別した結果を表すグラフである。

【図9A】図8の識別結果に基づいて通常モードの期間ごとに得られた、継続時間、消費エネルギー、及び局所外れ値因子の値を示す表である。

【図9B】図9Aの実験結果を表すグラフである。

【図10】ウォード法によるクラスタリングを用いた場合の通常モードとスリープモードとの識別結果を表すグラフである。

【図11】対象デバイスに流れる電流に基づいて通常モードとスリープモードとを識別した結果を表すグラフである。

【図12A】図11に示す識別結果に基づいて通常モードの期間ごとに得られた、継続時間、累積電流値、及び局所外れ値因子の値を示す表である。

【図12B】図12Aの実験結果を表すグラフである。

【図13】対象デバイスの動作中の抵抗に基づいて通常モードとスリープモードとを識別した結果を表すグラフである。

【図14A】図13に示す実験結果に基づいて通常モードの期間ごとに得られた、継続時間、累積抵抗値、及び局所外れ値因子の値を示す表である。

【図14B】図14Aの実験結果を表すグラフである。

【発明を実施するための形態】

【0010】

以下、図面を参照して本発明の実施形態を説明する。

図1は、本発明の実施形態に係る検出システム1の構成を模式的に示すブロック図である。検出システム1は、対象デバイス10と、電源20と、検出装置30と、を備える。検出システム1は、攻撃者により悪意で対象デバイス10に挿入された機能（悪意のある機能：malfunctions）を検出装置30により検出するシステムである。

【0011】

対象デバイス10は、IoT（Internet of Thing）デバイス等の電子機器であり、インターネット等のネットワーク及び/又はユニバーサル・シリアル・バス（USB）等のインターフェースを介してプログラムを書き換え可能なマイクロコントローラを有する。例えば、対象デバイス10は、ネットワークを介して自己のファームウェアをダウンロードしてアップデートすることができる。対象デバイス10は、使用時に電源20に接続され、電源20からの電源供給を受けて動作する。

【0012】

10

20

30

40

50

対象デバイス 10 の動作モードは、通常モード (active mode) とスリープモード (sleep mode) とを含む。通常モードは、対象デバイス 10 の通常の処理 (主要な機能) を実行するモードである。対象デバイス 10 のマイクロコントローラはセンサに接続されており、通常モードにおいてマイクロコントローラは、当該センサから取得された信号をホストコンピュータにネットワークを介して出力する。スリープモードは、対象デバイス 10 の必要最小限の機能のみを有効にして消費電力を抑えるモードである。スリープモードでは、対象デバイス 10 の主要な機能は停止している。対象デバイス 10 の消費電力は時間の経過とともに変化しているが、図 2 に示すように、通常モードでの消費電力とスリープモードでの消費電力は大きく異なっているため、消費電力によって通常モードとスリープモードとを明確に識別することができる。

10

**【 0 0 1 3 】**

対象デバイス 10 に挿入され得る悪意のある機能には、対象デバイス 10 の動作中は常時アクティブであるタイプと、対象デバイス 10 が攻撃者により設定された特定のトリガー条件を満たした時 (例えば、タイマーで所定時間経過した時) のみアクティブになるタイプがある。後者のタイプは、悪意のある機能がアクティブにならないとユーザはその存在に気付くことができないため、前者のタイプより厄介である。本実施形態では、後者のタイプの悪意のある機能が対象デバイス 10 に挿入されたものとし、図 3 に示すように、対象デバイス 10 が通常モードで動作中に特定のトリガー条件を満たした時のみ、挿入された悪意のある機能がアクティブになるものとする。

20

**【 0 0 1 4 】**

図 1 に戻り、電源 20 は、対象デバイス 10 が接続されたとき、電源線 201 及びグラウンド線 202 を介して、それぞれ、電源電位及びグラウンド電位を対象デバイス 10 に供給する。

**【 0 0 1 5 】**

検出装置 30 は、計測器 31 とコンピュータ 32 とを備える。計測器 31 は、対象デバイス 10 の動作中对象デバイス 10 から物理的に外部に漏れる情報 (サイドチャネル情報) を取得する装置である。サイドチャネル情報として、消費電力 (= 電圧 × 電流)、電磁波、処理時間等が挙げられるが、本実施形態では、計測器 31 により電圧と電流を計測して消費電力を取得するものとする。

30

**【 0 0 1 6 】**

計測器 31 は、例えば、オシロスコープからなり、プローブ 312 及びプローブ 314 によって計測された対象デバイス 10 の電流及び電圧をそれぞれ取得する。具体的に、プローブ 312 は、ケーブル 311 を介して計測器 31 に接続され、電源線 201 を流れる電流を計測し、ケーブル 311 を介して計測結果のデータを計測器 31 に出力する。プローブ 314 は、ケーブル 313 を介して計測器 31 に接続され、電源線 201 とグラウンド線 202 との電位差 (電圧) を計測し、ケーブル 313 を介して計測結果のデータを計測器 31 に出力する。

**【 0 0 1 7 】**

計測器 31 は、CPU (Central Processing Unit) 等のプロセッサと、メモリと、LCD (Liquid Crystal Display) 等の表示部と、を備える。計測器 31 のプロセッサは、プローブ 312 及びプローブ 314 からそれぞれ出力された電流及び電圧のデータをサンプリングして消費電力を算出し、時間の経過に伴う消費電力のデータを表示部に表示させるとともに、メモリに格納させる。また、計測器 31 はコンピュータ 32 に接続されており、算出された消費電力のデータをコンピュータ 32 に出力する。

40

**【 0 0 1 8 】**

コンピュータ 32 は、CPU 等のプロセッサ 321 と、メモリ 322 と、LCD 等の表示部 323 と、を備える。プロセッサ 321 は、メモリ 322 に格納されたプログラムにしたがって計測器 31 から出力されたデータを解析し、対象デバイス 10 に挿入された悪意のある機能の発現を検出する処理を実行する。また、プロセッサ 321 は、処理結果のデータをメモリ 322 に格納させるとともに、表示部 323 に表示させる。コンピュータ

50

3 2 により実行される処理については後述する。

【 0 0 1 9 】

なお、表示部を有さない計測器 3 1 を採用し、計測器 3 1 から得られた計測結果をコンピュータ 3 2 の表示部 3 2 3 に表示するようにしてもよい。また、図 1 では、電源 2 0 が対象デバイス 1 0 のみに接続されている例を示しているが、計測器 3 1 及び / 又はコンピュータ 3 2 を電源 2 0 と同一の電源系統に接続するようにしてもよい。

【 0 0 2 0 】

次に、図 4 を参照して、検出装置 3 0 によって実行される、対象デバイス 1 0 に挿入された悪意のある機能の発現を検出する方法の流れについて説明する。

【 0 0 2 1 】

まず、対象デバイス 1 0 の動作中、プローブ 3 1 2 及びプローブ 3 1 4 を用いて対象デバイス 1 0 の電流及び電圧がそれぞれ計測され、計測器 3 1 のプロセッサは、時間の経過に伴う消費電力 (= 電圧 × 電流) を算出する。これにより消費電力のデータが取得される (ステップ S 1)。取得された消費電力のデータは、コンピュータ 3 2 に出力される。

【 0 0 2 2 】

実際に取得される消費電力のデータはノイズを含んでいるため、コンピュータ 3 2 のプロセッサ 3 2 1 は、消費電力のデータを解析する前に消費電力の移動平均をとることにより、当該消費電力のデータを平滑化する (ステップ S 2)。具体的には、時刻 n における消費電力を  $x[n]$  とすると、N 個の移動平均をとった  $y[n]$  は式 (1) のように表される。

【 数 1 】

$$y[n] = \frac{1}{N} \sum_{i=0}^{N-1} x[n-i] \quad \dots (1)$$

【 0 0 2 3 】

次に、プロセッサ 3 2 1 は、平滑化後の消費電力のデータをクラスタリングにより 2 つのクラスに分類し、通常モードとスリープモードとを識別する (ステップ S 3)。ステップ S 3 のクラスタリングのアルゴリズムとして K 平均法 (K-means clustering) を用いることができる。K 平均法は、与えられたデータをその平均値を用いて k 個のクラスターに分類するものであり、式 (2) のように定式化されている。

【 数 2 】

$$\operatorname{argmin}_S \sum_{i=1}^k \sum_{x \in S_i} \|x - \mu_i\|^2 \quad \dots (2)$$

ここで、 $S = \{s_1, s_2, \dots, s_n\}$  はクラスターのセットであり、 $\mu_i$  はクラスター  $s_i$  における平均値である。本実施形態では 2 つの動作モード (通常モードとスリープモード) を識別するため、ステップ S 3 では 2 個 ( $k = 2$ ) のクラスターに分類する。なお、本実施形態では、2 つの動作モード (通常モードとスリープモード) の消費電力の違いに着目し、消費電力のデータを 2 個のクラスターに分類しているが、クラスターの数と、識別される動作モードの数とを必ずしも一致させる必要はない。例えば、3 個以上のクラスター ( $k = 3$ ) に基づいて 2 つの動作モードを識別するようにしてもよい。

【 0 0 2 4 】

なお、ステップ S 3 のクラスタリングのアルゴリズムとして、あらかじめ閾値を定め、その閾値を超えるか否かによって通常モードとスリープモードとを識別する方法も考えられるが、閾値をデバイスの種類に応じて調整する必要がある。一方、K 平均法を用いると、閾値を自動的に決定するため、デバイスの種類によらずにクラスタリングを行うことができる。

【 0 0 2 5 】

10

20

30

40

50

ステップ S 3 の後、プロセッサ 3 2 1 は、識別された通常モードとスリープモードのうち通常モードに着目し、通常モードの期間の各々について特徴量を抽出する（ステップ S 4）。ここで、悪意のある機能には、対象デバイス 1 0 の通常動作にいくつかの機能を付加するタイプ（機能付加型：adding-function type）と、対象デバイス 1 0 の通常動作においていくつかの機能を無効にするタイプ（機能無効型：disabling-function type）がある。前者の一例としては内部情報の漏洩があり、後者の一例としてはサービス妨害がある。機能付加型の悪意のある機能が挿入された対象デバイス 1 0 では、その悪意のある機能がない場合に比べて、通常モードにおける消費電力が大きく、且つ継続時間が長い。一方、機能無効型の悪意のある機能が挿入された対象デバイス 1 0 では、その悪意のある機能がない場合に比べて、通常モードにおける消費電力が小さく、且つ継続時間が短い。これらを考慮し、ステップ S 4 においてプロセッサ 3 2 1 は、通常モードと識別された期間ごとに、通常モードの継続時間と、当該継続時間における消費エネルギー（すなわち、消費電力を継続時間で積分した値）と、を特徴量として算出する。

10

20

30

40

50

#### 【 0 0 2 6 】

特徴量を算出した後、プロセッサ 3 2 1 は、通常モードの期間ごとに、ステップ S 4 で抽出された特徴量から外れ値を求めることで、対象デバイス 1 0 に挿入された悪意のある機能の発現を検出する（ステップ S 5）。ここで、アプリケーションによっては、通常モードの動作においても、継続時間と消費エネルギーがばらつく可能性がある。そこで、本実施形態では、局所外れ値因子（local outlier factor：LOF）法を用い、周辺に比べて密度が極端に異なるデータを外れ値とする。プロセッサ 3 2 1 は、通常モードの期間ごとに、特徴量（継続時間及びその継続時間における消費エネルギー）から LOF を求め、通常モードと識別された全期間のうち LOF の値が極端に異なる期間に、悪意のある機能が発現したと判断する。

#### 【 0 0 2 7 】

< 実施例 >

次に、対象デバイス 1 0 から悪意のある機能の発現を検出する実施例について、図 5 ~ 図 1 4 B を参照して説明する。

#### 【 0 0 2 8 】

まず、本実施例の実験条件について説明する。

図 5 に示すように、対象デバイス 1 0 は、悪意のある機能が発現していないときに以下の i) ~ iv) の通常動作を行うものとする：i) 入力データに対して A / D 変換を行う；ii) A / D 変換後のデータに対して AES（Advanced Encryption Standard）を用いた暗号化を行う；iii) シリアルインターフェースを介して暗号化されたデータを外部に出力する；iv) 次の A / D 変換が始まるまでスリープモードで動作する。i) ~ iii) の動作は通常モードであり、iv) はスリープモードである。i) の A / D 変換開始から次の A / D 変換開始までの期間は 3 2 m s である。すなわち、対象デバイス 1 0 は、A / D 変換の結果を 3 2 m s ごとに暗号化して出力する。対象デバイス 1 0 は、i) ~ iv) の通常動作を 1 サイクルとして何サイクルも繰り返すが、本実施例では、5 サイクルに 1 回の割合で AES 暗号化を無効にする悪意のある機能が発現するものとする。悪意のある機能が発現した場合、A / D 変換の結果が暗号化されずに外部に出力される。

#### 【 0 0 2 9 】

また、電源 2 0 から対象デバイス 1 0 に供給される電圧（V c c）を 5 . 0 V、最大電流を 0 . 4 A に設定する。

#### 【 0 0 3 0 】

このような条件下で得られた本実施例の実験結果を図 6 ~ 図 9 B に示す。

図 6 は、計測器 3 1 を用いて計測された 1 秒間の消費電力の波形（Raw data）を示す。図 6 において横軸は時間 [ s ] を表し、縦軸は消費電力 [ W ] を表す。図 6 に示すように、スリープモードの消費電力は 0 . 2 ~ 0 . 2 2 ( W ) の間で変動し、通常モードの消費電力は 0 . 2 6 ~ 0 . 2 8 ( W ) の間で変動する。

#### 【 0 0 3 1 】

図7に、図6に示された消費電力のデータを平滑化することにより得られた波形を示す。ここで、消費電力の移動平均を算出する際、式(1)において $N = 5$ とした。図7に示すように、スリープモードの消費電力は $0.2 \sim 0.21$  (W)の間で変動し、通常モードの消費電力は $0.26$ 付近で変動する。このように、消費電力のデータを平滑化することにより、通常モードもスリープモードも変動が小さくなっている。

#### 【0032】

図8に、平滑化後の消費電力のデータから、K平均法を用いて通常モード(実線)とスリープモード(破線)とを識別した結果を示す。図9Aは、識別された通常モードとスリープモードのうち、通常モードの期間ごとに抽出された特徴量(継続時間[s]及び消費エネルギー[mW・s])とLOFの値を示す表である。図9Bは、図9Aに示す実験結果を表すグラフである。図9Bにおいて、横軸は継続時間[s]を表し、縦軸は消費エネルギー[mW・s]を表し、背景の陰影の濃さはLOFの値に対応している。陰影が濃いほどLOFの値は低く、陰影が薄いほどLOFの値は高い。図9Bの左下の陰影の濃い領域にプロットされたいくつかのデータは、LOFの値が $-19$ よりも低く、外れ値として特定される。すなわち、図9Aの表において、LOFの値が $-19$ よりも低い通常モード期間4、9、14、19、24、及び29において、悪意のある機能が発現したことがわかる。

10

#### 【0033】

なお、上述の実施例では、簡単のため、約1秒間で得られた消費電力のデータから悪意のある機能の発現を検出する場合を示したが、言うまでもなく、実際の検出装置30では、1週間や1か月間等の長期にわたって悪意のある機能の発現を検出する処理を行ってもよい。

20

#### 【0034】

本実施形態によれば、対象デバイス10の通常モードとスリープモードとの消費電力の違いに着目し、通常モードにおける継続時間と消費エネルギーに基づいて悪意のある機能の発現を検出するようにした。これにより、特定のプラットフォームに依存せずに、プログラムを書き換え可能なデバイスに挿入された悪意のある機能の発現を検出することができる。

#### 【0035】

本発明は、上述の実施形態に限定されるものではなく、本発明の趣旨を逸脱しない範囲内で種々の変更が可能である。

30

#### 【0036】

例えば、上述の実施例では、K平均法を用いて通常モードとスリープモードとを識別したが(図8参照)、クラスタリングのアルゴリズムはK平均法に限定されない。例えば、階層的クラスタリングの一つであるウォード法(Ward's method)を用いてもよい。図10は、図5に示す実験条件の下で、平滑化後の消費電力のデータからウォード法を用いて通常モード(実線)とスリープモード(破線)とを識別した結果を示している。図10に示すように、ウォード法を用いた場合においても、通常モードとスリープモードを明確に識別することができる。

#### 【0037】

他のクラスタリングとして、スペクトラルクラスタリング(spectral clustering)や、K平均法を派生させたアルゴリズムであるK-means++を適用することも可能である。

40

#### 【0038】

さらに、特徴量から外れ値を求めるアルゴリズムはLOF法に限定されない。例えば、DBSCAN(Density-based spatial clustering of applications with noise)を適用することも可能である。

#### 【0039】

また、上述の方法では、対象デバイス10のサイドチャンネル情報として消費電力を解析することによって、対象デバイス10に挿入された悪意のある機能の発現を検出したが、他のサイドチャンネル情報を解析するようにしてもよい。

#### 【0040】

50



図 1 1、図 1 2 A 及び図 1 2 B は、図 5 に示す実験条件の下で、対象デバイス 1 0 に流れる電流を解析した結果を示す。具体的に、図 1 1 は、平滑化後の電流のデータからクラスタリングによって通常モード（実線）とスリープモード（破線）とを識別した結果を示す。図 1 2 A は、図 1 1 に示す識別結果に基づいて通常モードの期間ごとに抽出された特徴量（継続時間とその継続時間での累積電流値）と、特徴量から求められた L O F の値を示す表である。累積電流値は、電流値を継続時間で積分した値である。図 1 2 B は、図 1 2 A の実験結果を表すグラフである。図 1 2 B の左下の陰影の濃い領域にプロットされたいくつかのデータは、L O F の値が - 1 7 よりも低く、外れ値として特定される。すなわち、図 1 2 A の表において、L O F の値が - 1 7 よりも低い通常モード期間 4、9、1 4、1 9、2 4、及び 2 9 において、悪意のある機能が発現したことがわかる。

10

#### 【 0 0 4 1 】

図 1 3、図 1 4 A 及び図 1 4 B は、図 5 に示す実験条件の下で、対象デバイス 1 0 の動作中の抵抗（= 電圧 ÷ 電流）を解析した結果を示す。具体的に、図 1 3 は、平滑化後の抵抗のデータからクラスタリングによって通常モード（実線）とスリープモード（破線）とを識別した結果を示す。図 1 4 A は、図 1 3 に示す識別結果に基づいて通常モードの期間ごとに抽出された特徴量（継続時間とその継続時間での累積抵抗値）と、特徴量から求められた L O F の値を示す表である。累積抵抗値は、抵抗値を継続時間で積分した値である。図 1 4 B は、図 1 4 A の実験結果を表すグラフである。図 1 4 B の左下の陰影の濃い領域にプロットされたいくつかのデータは、L O F の値が - 2 8 よりも低く、外れ値として特定される。すなわち、図 1 4 A の表において、L O F の値が - 2 8 よりも低い通常モード期間 4、9、1 4、1 9、2 4、及び 2 9 において、悪意のある機能が発現したことがわかる。

20

#### 【 0 0 4 2 】

このように、電流、電圧、及び時間を任意に組み合わせた特徴量を用いて、対象デバイス 1 0 に挿入された悪意のある機能の発現を検出することができる。

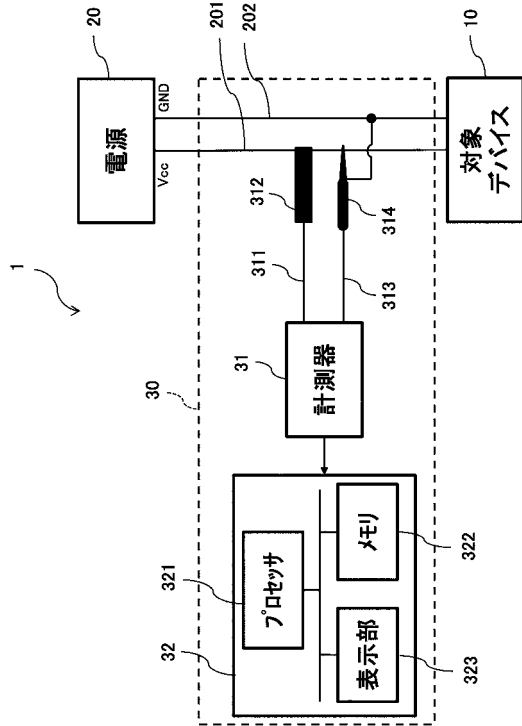
#### 【 符号の説明 】

#### 【 0 0 4 3 】

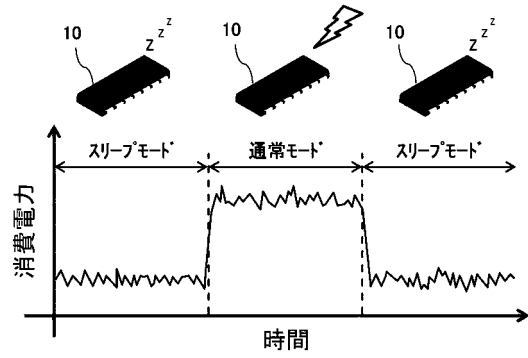
- 1 検出システム
- 1 0 対象デバイス
- 2 0 電源
- 3 0 検出装置
- 3 1 計測器
- 3 2 コンピュータ
- 3 2 1 プロセッサ
- 3 2 2 メモリ
- 3 2 3 表示部
- 2 0 1 電源線
- 2 0 2 グラウンド線

30

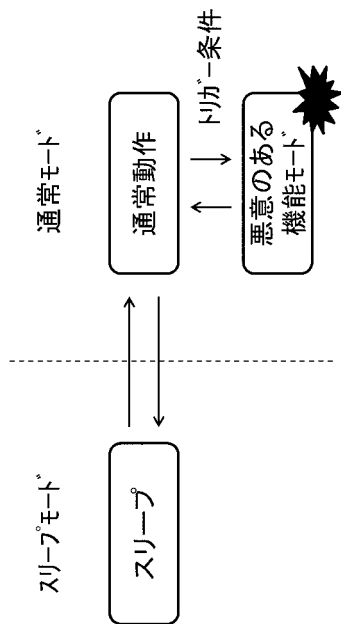
【図1】



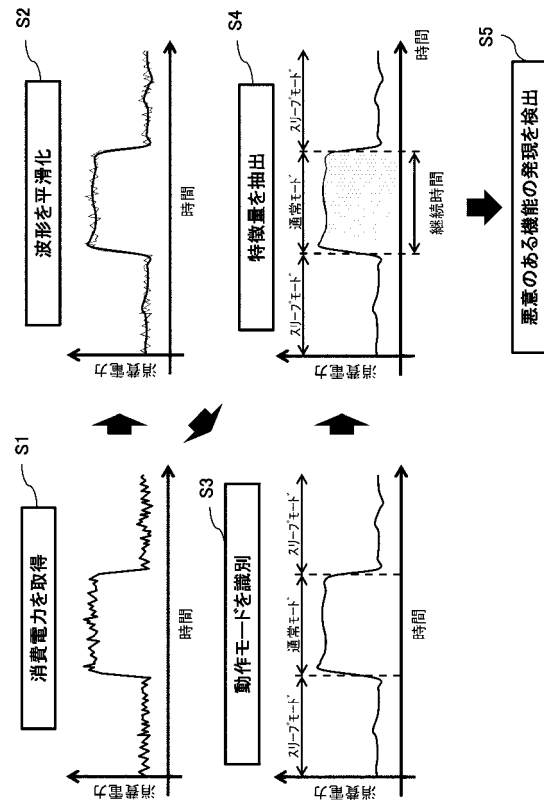
【図2】



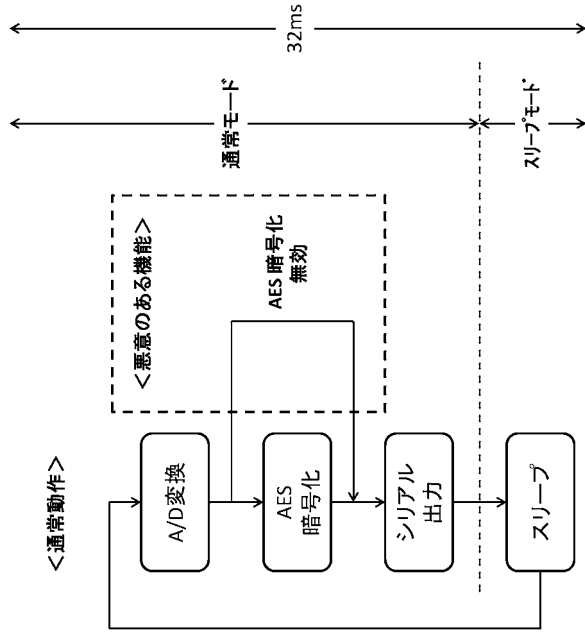
【図3】



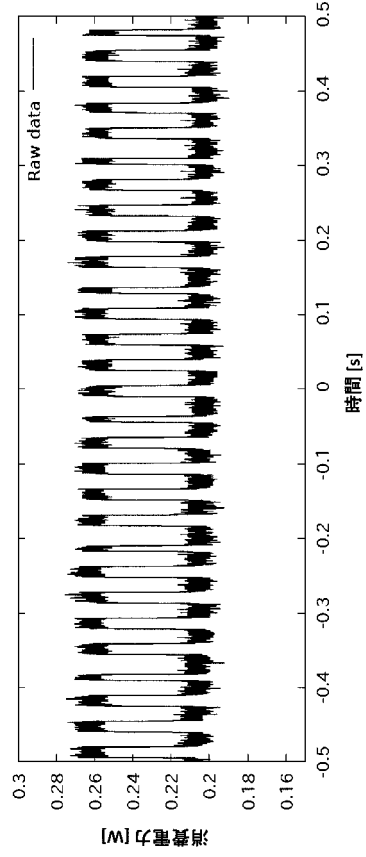
【図4】



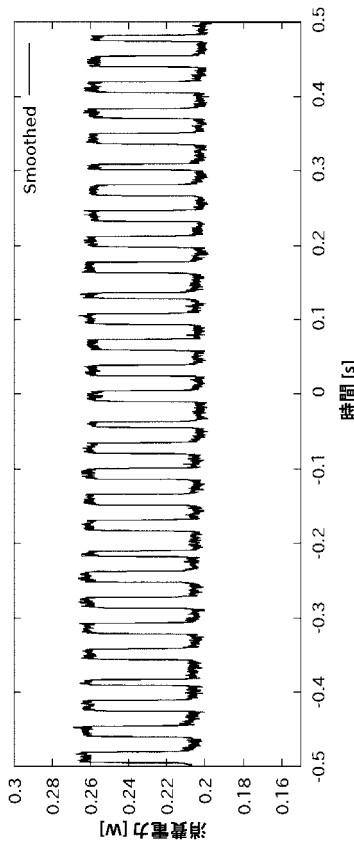
【 図 5 】



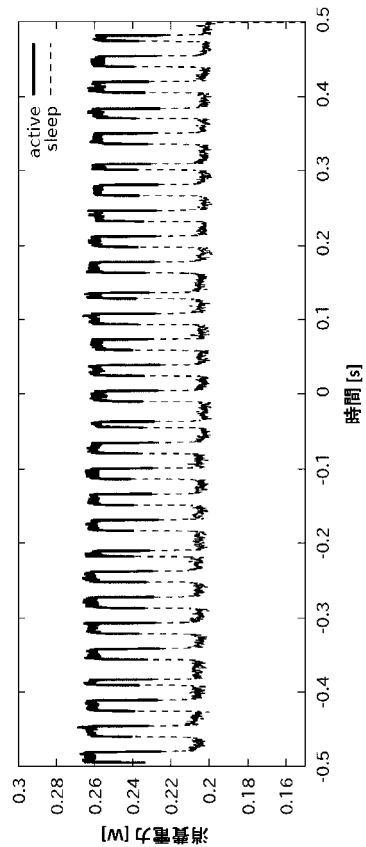
【 図 6 】



【 図 7 】



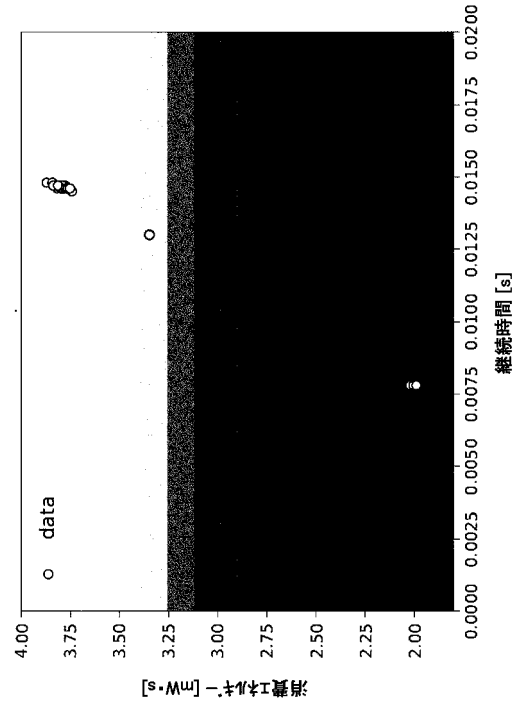
【 図 8 】



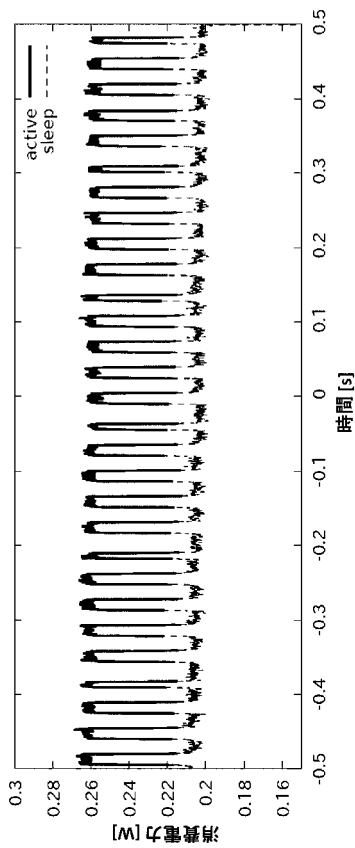
【図 9 A】

通常モード期間	継続時間[s]	消費エネルギー [mW・s]	LOF
1	0.0148	3.8700154	-1.41991882
2	0.0146	3.81662338	-0.9404494
3	0.0147	3.82452424	-1.01141631
4	0.0078	2.0265591	-19.2476636
5	0.0148	3.8412475	-1.14031871
6	0.0147	3.82748164	-1.02368781
7	0.0147	3.82035618	-0.95062244
8	0.0147	3.83693252	-1.10001225
9	0.0078	2.01489426	-19.3259252
10	0.0146	3.7949169	-0.92722028
11	0.0146	3.7910474	-0.93912591
12	0.0146	3.79401588	-0.92722028
13	0.0146	3.78123326	-0.97765742
14	0.0078	2.00408984	-19.3984141
15	0.0147	3.77687538	-1.00122813
16	0.0147	3.79120166	-0.93912591
17	0.0145	3.74185926	-1.12244195
18	0.0146	3.78690232	-0.95683289
19	0.0078	2.02073666	-19.2867275
20	0.0147	3.81237108	-0.9404494
21	0.0146	3.77413986	-1.00122813
22	0.0146	3.7569725	-1.00943257
23	0.0146	3.75492958	-1.01792978
24	0.0078	2.00322512	-19.4042156
25	0.0146	3.76277836	-1.00138305
26	0.013	3.3472639	-8.35758919
27	0.0146	3.7628901	-1.00122813
28	0.0146	3.75163688	-1.04075556
29	0.0078	1.98892634	-19.5001488

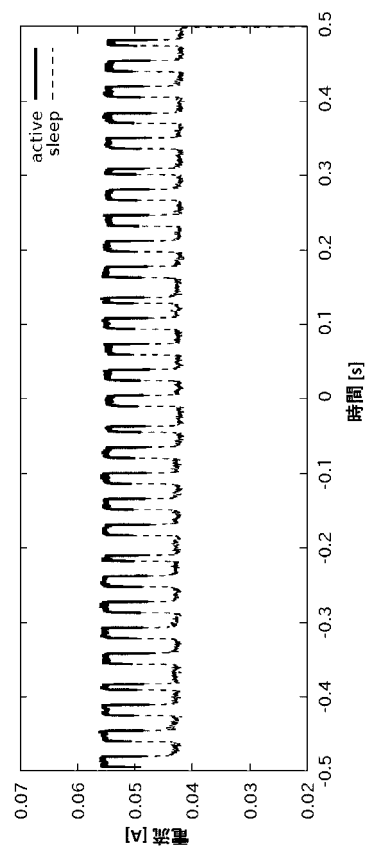
【図 9 B】



【図 1 0】



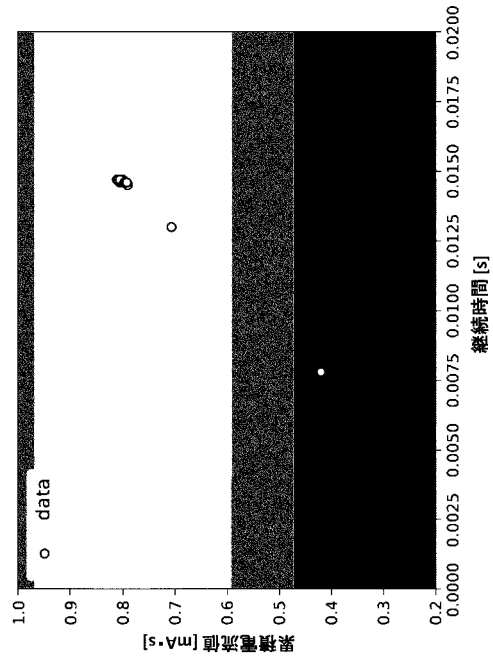
【図 1 1】



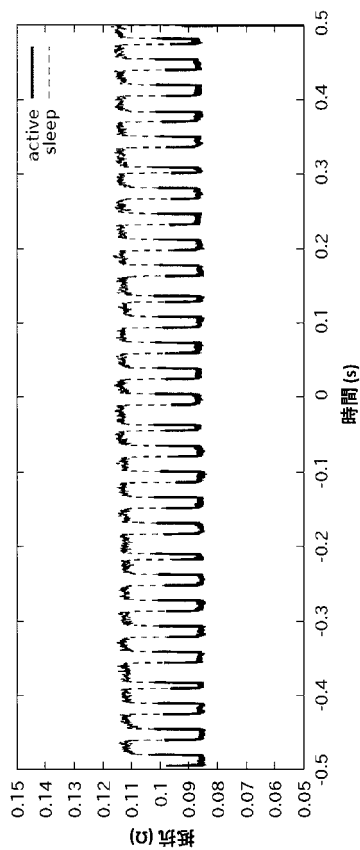
【図 1 2 A】

通常モード期間	継続時間 [s]	累積電流値 [mA·s]	LOF
1	0.0147	0.810928	-1.02411
2	0.0146	0.805712	-0.98265
3	0.0147	0.807152	-0.98265
4	0.0078	0.427504	-17.4966
5	0.0147	0.805296	-0.98265
6	0.0146	0.803312	-0.98265
7	0.0147	0.806976	-0.98265
8	0.0147	0.809696	-0.98265
9	0.0078	0.425104	-17.5768
10	0.0146	0.801312	-0.98022
11	0.0146	0.800128	-0.98022
12	0.0146	0.801136	-0.98022
13	0.0146	0.79824	-0.98353
14	0.0078	0.422176	-17.6746
15	0.0146	0.792224	-0.98353
16	0.0147	0.80024	-0.98022
17	0.0145	0.79032	-1.02397
18	0.0146	0.799296	-0.98353
19	0.0078	0.426528	-17.5292
20	0.0147	0.805248	-0.98265
21	0.0146	0.796928	-0.98353
22	0.0146	0.793088	-0.98353
23	0.0146	0.793088	-0.98353
24	0.0078	0.42328	-17.6377
25	0.0146	0.793904	-0.98353
26	0.013	0.706464	-6.32314
27	0.0146	0.794496	-0.98353
28	0.0146	0.791808	-0.98353
29	0.0078	0.42	-17.7473

【図 1 2 B】



【図 1 3】



【図 1 4 A】

通常モード期間	継続時間 [s]	累積抵抗値[mΩ·s]	LOF
1	0.0148	1.274738	-0.92737
2	0.0148	1.273616	-0.92737
3	0.0148	1.279243	-0.97627
4	0.0079	0.685064	-28.6354
5	0.0148	1.28276	-1.03159
6	0.0147	1.267186	-1.0346
7	0.0147	1.268625	-1.02542
8	0.0147	1.265553	-1.05562
9	0.0079	0.688829	-28.5228
10	0.0147	1.270446	-0.96843
11	0.0148	1.282573	-1.02308
12	0.0146	1.280763	-1.28072
13	0.0146	1.265657	-1.05233
14	0.0079	0.694574	-28.3509
15	0.0147	1.28542	-1.15244
16	0.0147	1.280141	-0.97627
17	0.0147	1.279828	-0.97627
18	0.0147	1.274084	-0.92737
19	0.008	0.696044	-28.3069
20	0.0147	1.271319	-0.96843
21	0.0146	1.267488	-1.03268
22	0.0146	1.273965	-0.92737
23	0.0146	1.273178	-0.94452
24	0.0079	0.690666	-28.4678
25	0.0146	1.273242	-0.94452
26	0.0131	1.144143	-11.3384
27	0.0147	1.281272	-0.98887
28	0.0147	1.286039	-1.18057
29	0.0078	0.686607	-28.5893

【 図 1 4 B 】

